

Institut royal des Sciences
naturelles de Belgique

BULLETIN

Tome XXX, n° 42
Bruxelles, décembre 1954.

Koninklijk Belgisch Instituut
voor Natuurwetenschappen

MEDEDELINGEN

Deel XXX, n° 42
Brussel, December 1954.

CONTRIBUTIONS A L'ETUDE
DES LÉPIDOPTÈRES HÉTÉROCÈRES.
(TROISIÈME NOTE),

PAR SERGE G. KIRIAKOFF (Gand).

Zygaenidae nouveaux du Congo Belge.

Les types et les paratypes des espèces décrites ci-dessous se trouvent dans les collections de l'Institut royal des Sciences naturelles de Belgique.

Arniocera rectifascia sp. nov.
(Fig. 1).

Voisine de *Arniocera zambezina* WALKER, mais en diffère par la présence de grandes taches latérales rouges sur l'abdomen, qui occupent presque entièrement les pleurites; la teinte rouge s'étend parfois sur la base des segments jusque près du dorsum;

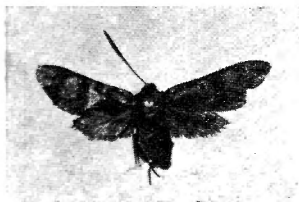


Fig. 1. — *Arniocera rectifascia* sp. nov., ♂ holotype (× 1).

segment anal rouge; ventrum noir. Dessin des ailes comme chez *A. zambezina*, mais la troisième bande transversale rouge de l'aile antérieure est tout à fait droite. Aile postérieure noire à reflets violets, devenant vert-de-Prusse près de l'angle anal. Longueur de l'aile antérieure: 13 mm.

Holotype et paratype: ♂♂, Elisabethville, 24.XII.1938 (H. J. BREDO).

Arniocera vanstraeleni sp. nov.

(Fig. 2).

Voisine de *Arniocera poecila* JORDAN, mais les taches alaires sont rouges. Tête et thorax noirs à reflets vert-de-Prusse; palpes rouges à dernier article noir; coxae antérieures rouges; tegulae bordées intérieurement de rouge. Abdomen comme thorax, dessus et côtés des segments rouges, sauf sur les deux premiers et l'anal. Aile antérieure noire à forts reflets vert-de-Prusse, plus bleus à la côte; une bande subbasale composée de deux taches rouges confluentes; quatre taches rouges, formant deux rangées, une postmédiane et une subterminale; la tache subapicale la plus grande, la tornale la plus petite; toutes les taches largement bordées de noir velouté; termen et franges noirs à reflets violets. Dessous à reflets bleu-violet; bande subbasale et tache dorsale postmédiane obsolètes; bordures noires des taches rouges peu apparentes. Aile postérieure noire à reflets bleu-violet sur les deux faces, y compris les franges. Longueur de l'aile antérieure: 17 mm.

Holotype: ♂, Village Gaduma Mala, Chefferie Sesenge (Faradje), 12.III.1930 (A. COLLART).

J'ai l'honneur de dédier cette espèce, une des plus belles du genre, à M. le professeur V. VAN STRAELEN, Directeur honoraire de l'Institut royal des Sciences naturelles de Belgique.

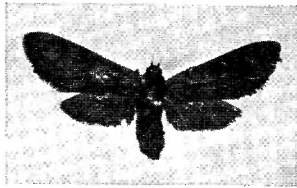


Fig. 2. — *Arniocera vanstraeleni* sp. nov., ♂ holotype ($\times 1$).

Arniocera elliptica sp. nov.
(Fig. 3).

Voisine de *Arniocera viridifascia* AURIVILLIUS. Tête et thorax bronzés à reflets très brillants d'un rosé mauve; palpes écarlates; coxæ et fémurs antérieurs rouge rosé; pattes noires, face externe à reflets bleus et vert bronzé; abdomen noir velouté; bases des segments et ventrum d'un vert doré brillant. Aile antérieure noire, saupoudrée de vert, plus doré sur les deux tiers proximaux, devenant plus bronzé à la base; côte étroitement noire; dans les deux tiers proximaux, quatre bandes transversales noires, la distale formant des saillies au-delà de la DC et sur la veine 2; une cinquième bande noire partant de la côte aux quatre cinquièmes, excurvée parallèlement au termen et s'arrêtant à la veine 5; une ligne noire, partant de cet endroit, rejoint la quatrième bande sur la DC, de sorte qu'un ellipse vert métallique, bordé de noir, se trouve placé obliquement devant l'apex; franges noires à extrémité brunâtre. Dessous noir à reflets violet-pourpre. Aile postérieure brun Vandyck foncé, plus noirâtre dans la région anale, plus pâle à la côte; franges concolores. Dessous à reflets pourpres et violets. Longueur de l'aile antérieure: 13 mm.

Chez cette espèce, les veines 6 et 7 de l'aile postérieure partent d'un point au lieu d'être tigées.

Holotype: ♂, Kafakumba, X.1931 (F. G. OVERLAET).

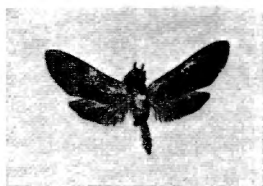


Fig. 3. — *Arniocera elliptica* sp. nov., ♂ holotype ($\times 1$).

Arniocera inornata sp. nov.
(Fig. 4).

Tête et thorax noirs à reflets bronzés, plus brillants et dorés sur la tête et les tegulæ; palpes rouges; pattes noirâtres à reflets métalliques; coxæ et fémurs antérieurs rouge terne; tibias antérieurs portant sur la face interne une bande longitu-

dinale rouge; les moyens portant une bande semblable, plus terne, sur la face externe; les postérieurs rouge terne extérieurement dans la moitié basale; abdomen noir à reflets vert doré, plus nets à la base et à l'extrémité. Aile antérieure sépia, saupoudrée de vert doré, plus densément à la côte, plus faiblement dans le pli submédian; franges noires à la base, ensuite brunes. Dessous à reflets pourpre-violet, d'un brun pâle dans la région dorsale. Aile postérieure sépia; région costale brun blanchâtre; tiers anal à pilosité noir violet. Dessous à reflets violets, sauf à l'apex. Longueur de l'aile antérieure: 11 mm.

Les veines 6 et 7 de l'aile postérieure partent d'un point au lieu d'être tigées.

Holotype: ♂, Mutigulunga, VI.1936 (collecteur?).



Fig. 4. — *Arniocera inornata* sp. nov., ♂ holotype ($\times 1$).

Byblisia micans sp. nov.

(Fig. 5).

Voisine de *Byblisia setipes* PLÖTZ, dont la nouvelle espèce diffère par l'apex concolore et non blanc, à l'aile antérieure, et par la base non-hyaline de l'aile postérieure. Corps noir à reflets vert-de-Prusse; menton et base des palpes blancs; fémurs à tache basale blanche; éperon terminal interne des tibias moyens (et postérieurs? ces derniers manquent) blanc; ventrum à tache blanche irrégulière sur le troisième segment, et à bande transversale blanche sur le cinquième. Ailes noires à reflets violets, mais vert-de-Prusse à la base et à la côte des antérieures; de petites taches hyalines, à savoir: une ovale sous la cellule dans le tiers basal, une carrée au bout de la cellule, et une guttiforme, placée plus distalement dans l'intervalle II; une rangée postdiscale de quatre taches allongées dans les intervalles III à VII, celles des intervalles VI et VII séparées par la nervure seulement, celle de l'intervalle IV la plus grande; franges noir-brun. A la postérieure, une tache allongée hyaline sous la cellule

et une plus petite, carrée, dans la cellule; deux taches allongées postdicales, contiguës, dans les intervalles IV et V, et un point minuscule dans l'intervalle III, juste sous la veine (cette tache n'est présente dans notre exemplaire que du côté droit). Dessous comme dessus, région dorsale de l'antérieure brun pâle. Longueur de l'aile antérieure: 14 mm.

Holotype: ♂, Kapanga, I.1931 (F. G. OVERLAET).



Fig. 5. — *Byblisia micans* sp. nov., ♂ holotype ($\times 1$).

Pedoptila psalidoprocne sp. nov.

(Fig. 6).

Corps orangé, à touffe anale brun d'ombre grisâtre. Ailes orangées; moitié distale de l'aile antérieure brun d'ombre gris; dans la partie orangée se trouvent les trois cinquièmes de la côte, la cellule, le cinquième basal de l'intervalle III, la moitié basale de l'intervalle II et tout l'intervalle I sauf l'extrême portion terminale; franges brun-gris. Cinquième basal de la

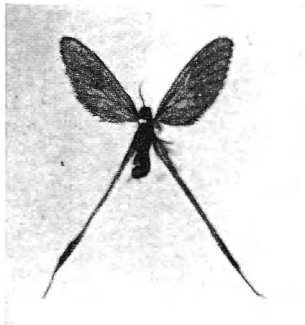


Fig. 6. — *Pedoptila psalidoprocne* sp. nov., ♀ holotype ($\times 1$).

postérieure orangé, reste gris-brun, la partie élargie plus noirâtre. Dessous comme dessus. Longueur de l'aile antérieure: 14 mm, de la postérieure: 27 mm.

Aile postérieure sans lobe subterminal, à peine élargie dans le quart distal et terminée par un prolongement filiforme.

Cette espèce diffère de *Pedoptila catori* BETHUNE-BAKER par la forme différente de l'aile antérieure, celle-ci étant plus étroite, et par l'aile postérieure démunie d'un lobe.

Holotype: ♀, Lupweshi, III.1937 (F. G. OVERLAET).

Semioptila hedydipna sp. nov.

(Fig. 7).

Voisine de *Semioptila axine* HERING, dont elle diffère comme ci-dessous: lobe de l'aile postérieure relativement plus étroit, et partie étroite distale relativement plus large, toute l'aile étant ainsi d'une largeur plus uniforme. Tache discocellulaire orangée de l'aile antérieure plus grande; la couleur orangée de cette aile est limitée au dorsum, jusqu'à la deuxième anale, avec quelques reflets orangés à la base, entre les anales, et à la côte; franges brun orangé, beaucoup plus claires que le restant de l'aile. Chez *S. axine*, le tiers basal de l'aile antérieure est orangé, et les franges sont plus foncées que l'aile. A la postérieure, la tache orangée est elliptique, placée dans le sens de la longueur, et non oblique ou même transversale, comme chez *S. axine*. Longueur de l'aile antérieure: 13 mm, de la postérieure: 27 mm.

Holotype: ♂, Sandoa, 18.XII.1931 (F. G. OVERLAET).

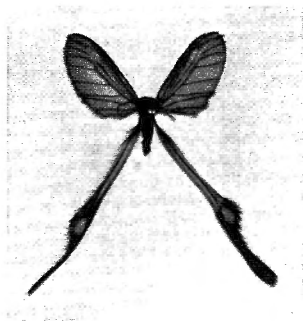


Fig. 7. — *Semioptila hedydipna* sp. nov., ♂ holotype (× 1).

Semioptila macrodipteryx sp. nov.

(Fig. 8).

Par la forme des ailes, cette espèce se rapproche de *S. satanas* HERING, mais la partie basale de l'aile postérieure est beaucoup plus étroite. Par sa coloration, elle est voisine de *S. axine* HERING et de *S. lufirensis* JOICEY, dont elle diffère évidemment par la forme de l'aile postérieure. Corps brun noirâtre; vertex, patagia et tegulæ revêtus de poils jaune-orangé; face interne des pattes plus jaunâtre; abdomen à pilosité jaune-orangée, formant de vagues bandes transversales, plus étroites sur le ventrum. Aile antérieure colorée exactement comme chez *S. axine*, mais la partie distale est d'une teinte sépia grisâtre nettement plus foncée, du même ton que chez *S. satanas*, et la tache discocellulaire jaune-orangée est plus petite; franges colorées. Portion étroite de l'aile postérieure jaune-orangée, portion élargie du même sépia grisâtre qu'à l'antérieure, avec un très vague éclaircissement produit par quelques écailles jaune-orangé à la base, près du bord costal. Longueur de l'aile antérieure: 11 mm, de la postérieure: 17,5 mm.

Holotype ♂, Kafakumba, XII.1930 (F. G. OVERLAET).

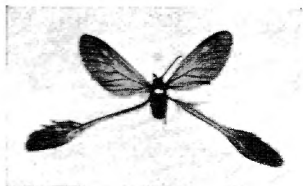


Fig. 8. — *Semioptila macrodipteryx* sp. nov., ♂ holotype ($\times 1$).

* * *

J'estime utile de donner ci-dessous la liste des *Himantopterinae* africains contenus dans les collections de l'Institut royal des Sciences naturelles de Belgique.

Semioptila monochroma HERING, 1937. Sandoa, XII.1930, ♀.

S. satanas HERING, 1937. Kafakumba, XII.1931, ♂ et un ex. de sexe indéterminable.

S. axine HERING, 1937. Kafakumba, XI.1930, ♂ ; XII.1930, ♀ ; XII.1931, ♀ ; II.1932, ♀ ; XI.1937, ♂ ; XI.1938, 6 ♂♂ et 1 ♀. De plus, les ailes détachées et conservées dans une papillote, d'un exemplaire du Lac Léopold (KONINGS), portant les étiquettes de détermination ci-après : « *Semioptila* sp. Det. AURIVILLIUS 1908 » et « *Semioptila fulveolans* MABILLE spp. ? Det. DEBAUCHE 1935 ». Cet exemplaire est malheureusement resté non-décrit.

S. vinculum HERING, 1937. Kafakumba, X.1931, ♂.

S. trogoloba trogoloba HAMPSON, 1919. Kafakumba, XII.1931, ♂.

Pedoptila nemopteridia BUTLER, 1885. Bumba, 23.X.1905 (WÆLBROECK), ♂, ♀, et un ♂ en pièces détachées de la même localité.

P. catori BETHUNE-BAKER, 1911, Kafakumba, XII.1930, ♂ ; XI.1937, ♀.

Il convient d'ajouter à cette liste les trois espèces décrites ci-dessus.

LABORATOIRE DE ZOOLOGIE SYSTÉMATIQUE DE L'UNIVERSITÉ DE GAND
ET INSTITUT ROYAL DES SCIENCES NATURELLES DE BELGIQUE.